

Tepelný odpor, teplota rosného bodu a průběh kondenzace.

Stavba: Novostavba výrobní haly

Místo: Slapy u Tabora

Investor:

Zpracovatel: Bc. Stanislav Vyskočil

Zakázka: A-Slapy u Tabora

Archiv:

Projektant: Bc. Stanislav Vyskočil

Datum: 3.1.2013

E-mail: vyskocilS@fce.vutbr.cz

Telefon: 737456408

Výpočet je proveden podle ČSN 73 0540-2:2011 a ČSN EN ISO 6946:2008**1 SCH1 - skladba pro variantu 1 - stávající stav**

Střecha - plochá a šikmá se sklonem do 45° včetně

Poznámka:

šikmina střechy

1.1 Podmínky pro hodnocení konstrukce:Výpočet je proveden pro $\theta_{ai} = \theta_i + \Delta\theta_{ai} = 20,0 + 1,0 = 21,0^\circ\text{C}$ $\theta_{ai} = 21,0^\circ\text{C}$ $\varphi_{i,r} = 55,0\%$ $R_{si} = 0,100\text{ m}^2\cdot\text{K/W}$ $p_{di} = 1\,368\text{ Pa}$ $p_{di}'' = 2\,487\text{ Pa}$ $\theta_{se} = -15,0^\circ\text{C}$ $\varphi_{se} = 84,0\%$ $R_{se} = 0,040\text{ m}^2\cdot\text{K/W}$ $p_{dse} = 139\text{ Pa}$ $p_{dse}'' = 165\text{ Pa}$ Pro výpočet šíření vlhkosti je $R_{si} = 0,250\text{ m}^2\cdot\text{K/W}$ **1.2 Normové a charakteristické hodnoty fyzikálních veličin materiálů**

1	2	3	4	5	6	7	7a	8	9	10	11	12	13
č.v.	Položka KC	Položka ČSN	Materiál	ρ kg/m ³	c J/(kg·K)	μ	k_μ	λ_k W/(m·K)	λ_p W/(m·K)	Z_{TM}	Z_w	z_1	z_3
1	110-02	11.2	Sádrokarton	750	1 060,0	9,0	1,000	0,150	0,220	0,00	0,045	1,0	1,0
2	545-01		Jutafoł N 110 Special			210 154,0	1,000			0,00		1,0	1,0
3	108a-041	8.4.1	Minerální vlna MVV (50)	50	1 150,0	1,2	1,000	0,039	0,041	0,00	0,019	1,0	1,0
4	541-01		Jutafoł D 110 Special			3 869,0	1,000			0,00		1,0	1,0
5	163-01		Vz. - tok zdola nahoru	1	1 010,0	1,0	8,000			0,00		1,0	1,0

ZTM - činitel tepelných mostů; koriguje součinitel tepelné vodivosti o vliv kotvení, přerušení izolační vrstvy krokvemi, rámovou konstrukcí atp.

1.3 Vypočítané hodnoty

1	2	4	14	15	16	16a	17	18	7b	19	20
č.v.	Položka KC	Materiál	Vr	d mm	λ W/(m·K)	λ_{ekv} W/(m·K)	R m ² ·K/W	θ_s °C	μ_{vyp}	$Z_p \cdot 10^{-9}$ m/s	p_d Pa
1	110-02	Sádrokarton	Z vr.	15,00	0,220	0,220	0,068	20,4	9,0	0,72	1 368
2	545-01	Jutafoł N 110 Special	Z vr.	0,22			0,000	20,0	210 154,0	245,61	1 365
3	108a-041	Minerální vlna MVV (50)	Z vr.	240,00	0,041	0,041	5,854	20,0	1,2	1,53	169
4	541-01	Jutafoł D 110 Special	Z vr.	0,22			0,000	-13,8	3 869,0	4,52	161
5	163-01	Vz. - tok zdola nahoru	Z vr.	80,00			0,160	-13,8	0,1	0,05	139

Korekce součinitele prostupu tepla (podle ČSN 73 0540, TNI 73 0329 a 30) $\Delta U = 0,000\text{ W/(m}^2\cdot\text{K)}$

Z vr. - základní vrstvy - vrstvy stávajícího stavu konstrukce

P vr. - přidané vrstvy - vrstvy přidané ke stávající konstrukci

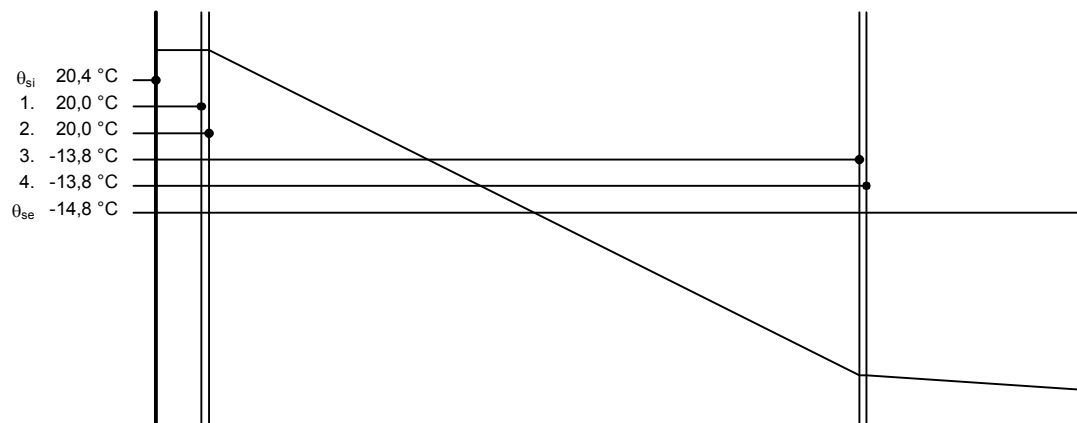
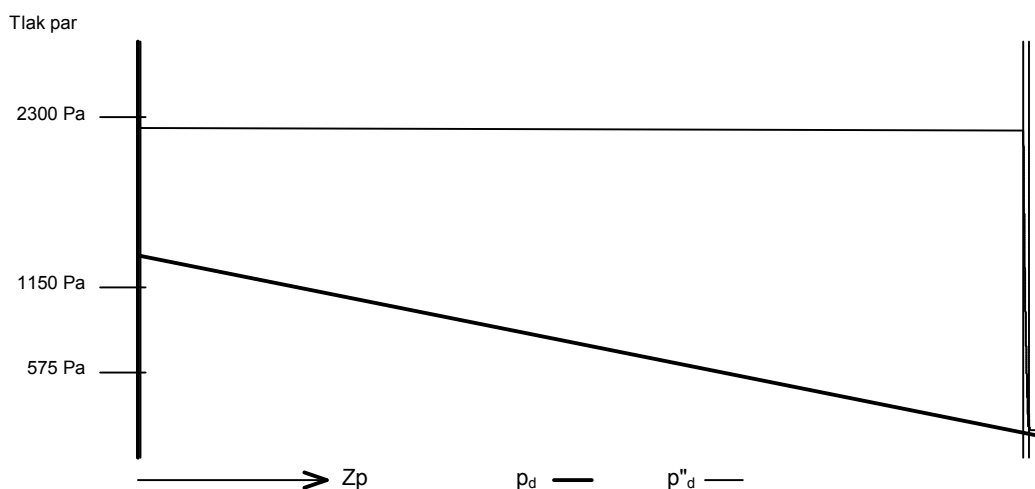
U materiálů vybraných z ČSN 73 0540-3:2005, je tepelná vodivost vrstev přepočítávána na vliv vlhkosti podle článku 5.2.1 uvedené normy.

To může způsobit, že po zaizolování konstrukce se změní hodnota λ_{ekv} u vrstev na vnitřním líci konstrukce.

SCH1 - stávající stav

Součinitel prostupu tepla	$U = 0,161 \text{ W/(m}^2 \cdot \text{K)}$	Celková měrná hmotnost	$m = 23,3 \text{ kg/m}^2$
Tepelný odpor	$R = 6,082 \text{ m}^2 \cdot \text{K/W}$	Teplota rosného bodu	$\theta_w = 11,6 \text{ }^\circ\text{C}$
Odpor při prostupu tepla	$R_T = 6,222 \text{ m}^2 \cdot \text{K/W}$		
Difuzní odpor	$Z_p = 252,433 \cdot 10^9 \text{ m/s}$		

1.4 Průběh teploty v konstrukci

1.5 Průběh tlaku vodních par p_{dx} a p''_{dx} v konstrukci

Závěr

Součinitel prostupu tepla **konstrukce splňuje požadavek na U_N a U_{rec}**

$U = 0,16072 \text{ W/(m}^2 \cdot \text{K)}$; Zaokrouhleno: $U = 0,16 \text{ W/(m}^2 \cdot \text{K)}$; požadovaný $U_N = 0,24 \text{ W/(m}^2 \cdot \text{K)}$; doporučený $U_{rec} = 0,16 \text{ W/(m}^2 \cdot \text{K)}$

Korekce součinitele prostupu tepla (podle ČSN 73 0540, TNI 73 0329 a 30) $\Delta U = 0,00 \text{ W/(m}^2 \cdot \text{K)}$

Teplotní faktor vnitřního povrchu: $f_{Rsi,cr} = 0,793$; $f_{Rsi} = 0,984$ vyhovuje

Roční množství zkondenzované páry (kg/m^2) $M_c = 0,000 < 0,100$ - **konstrukce vyhovuje**

Poznámka k vyhodnocení kondenzace :

Zda smí v konstrukci docházet ke kondenzaci určuje projektant.

Ke kondenzaci vodní páry ($M_c > 0$) smí docházet jen u konstrukcí, u kterých zkondenzovaná pára neohrozí požadovanou funkci, tj. zkrácení životnosti, snížení povrchové teploty, objemové změny, nepřiměřené zatížení souvisejících konstrukcí, atp.

1.6 Měsíční bilance zkondenzované a vypařené vodní páry podle ČSN EN ISO 13788.

Stavba: Novostavba výrobní haly

Místo: Slapy u Tabora

Investor:

Zpracovatel: **Bc. Stanislav Vyskočil**

Zakázka: A-Slapy u Tabora

Archiv:

Projektant: Bc. Stanislav Vyskočil

Datum: 3.1.2013

E-mail: vyskocilS@fce.vutbr.cz

Telefon: 737456408

SCH1 - stávající stav

Popis:

šíkmina střechy

Návrhová teplota $\theta_i = 20,0\text{ }^{\circ}\text{C}$ Nadmořská výška $z = 300\text{ m n.m.}$

Vlhostní třída prostotu: Obytné budovy s velkým obsazením osobami, sportovní haly, kuchyně, jídelny

V konstrukci nedochází ke kondenzaci.

2 Legenda

Značky veličin a zkratky v hlavičkách tiskových sestav

1	č.v.	číslo vrstvy
2	KC	číslo položky v katalogu materiálů firmy PROTECH, spol. s r.o.
3	ČSN	číslo položky v ČSN 73 0540-3, 1994
4	Mat.	popis položky
5	ρ	měrná hmotnost v suchém stavu
6	c	měrná tepelná kapacita
7	μ	faktor difuzního odporu
8	λ_k	charakteristický součinitel tepelné vodivosti
9	λ_p	výpočtový (praktický) součinitel tepelné vodivosti
10	Z_2	součinitel materiálu podle tabulky B2 ČSN 73 0540-3
11	Z_w	vlhkostní součinitel materiálu
12	Z_1	součinitel vnitřního prostředí podle tabulky B1 ČSN 73 0540-3
13	Z_3	součinitel způsobu zabudování materiálu do stavební konstrukce podle tab. B3 ČSN 73 0540-3
14	Vr	výpočtová varianta vrstvy
15	d	tloušťka vrstvy
16	λ	korigovaný součinitel tepelné vodivosti podle čl. 2.3 ČSN 73 0540-3
16a	λ_{ekv}	hodnota pro výpočet tepelného odporu vrstvy.
17	R	tepelný odpor vrstvy
18	θ_s	teplota na vnitřním líci vrstvy
19	R_d	difuzní odpor vrstvy
20	p_d	částečný tlak vodní páry na vnitřním líci vrstvy
21	θ_{ae}	teplota vnějšího vzduchu
22	τ_c	celková doba trvání teplot vnějšího vzduchu
23	g_{dA}	hustota difuzního toku vodní páry, proudící konstrukcí od vnitřního povrchu k hranici A oblasti kondenzace
24	g_{dB}	hustota difuzního toku vodní páry, proudící konstrukcí od hranice B oblasti kondenzace k vnějšímu povrchu
25	M_d	dílčí množství zkondenzované (vypařené) vodní páry

Ostatní veličiny

θ_{ai}	výpočtová teplota vnitřního vzduchu
θ_e	výpočtová venkovní teplota podle ČSN 06 0210
φ_i	relativní vlhkost vnitřního vzduchu
φ_e	relativní vlhkost vnějšího vzduchu
R_i	odpor při přestupu tepla na vnitřní straně konstrukce
R_e	odpor při přestupu tepla na vnější straně konstrukce
p_{di}	částečný tlak vodní páry ve vnitřním prostředí
p_{de}	částečný tlak vodní páry ve vnějším prostředí
p''_{di}	částečný tlak syté vodní páry ve vnitřním prostředí
p''_{de}	částečný tlak syté vodní páry ve vnějším prostředí
e_1	součinitel typu budovy podle ČSN 73 0540-2
θ_i	výpočtová vnitřní teplota
R_T	odpor konstrukce při prostupu tepla
U	součinitel prostupu tepla konstrukce
m	měrná hmotnost konstrukce
R_d	difuzní odpor konstrukce
R_{dT}	odpor konstrukce při prostupu vodní páry
v	teplotní útlum konstrukce
ψ	fázové posunutí teplotních kmitů
θ_w	teplota rosného bodu
M_c	roční množství zkondenzované vodní páry v konstrukci
M_{ev}	roční množství vypařené vodní páry v konstrukci
R_{dA}	difuzní odpor od vnitřního povrchu konstrukce k hranici A oblasti kondenzace
R_{dB}	difuzní odpor od hranice B oblasti kondenzace k vnějšímu povrchu konstrukce
U_p	součinitel prostupu tepla zabudované konstrukce
R_N	normový tepelný odpor konstrukce
$\Delta\theta_{w1}$	bezpečnostní přírážka zohledňující způsob vytápění
$\Delta\theta_{w2}$	bezpečnostní přírážka zohledňující zohledňující tepelnou akumulaci konstrukce
θ_r	výsledná teplota v místnosti
λ_{kat}	součinitel tepelné vodivosti vybraný z katalogu materiálů
R_u	tepelný odpor nevytápěných prostorů
μ	faktor difuzního odporu